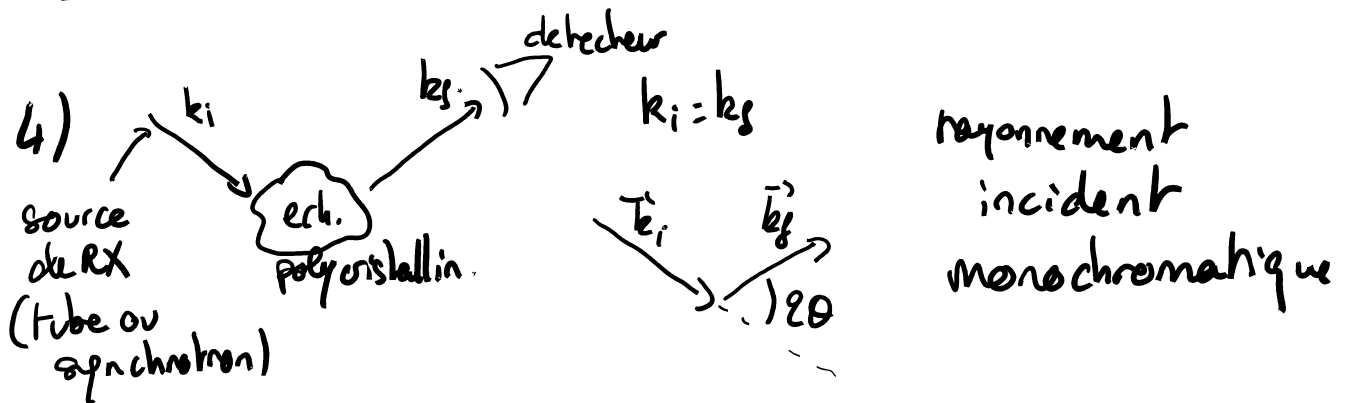


## I. Structure du composé $\text{VO}_2$

1) Réseau tétragonal Primitif

2) Le réseau réciproque est aussi tétragonal  $\vec{a} = \frac{2\pi}{a} \vec{a}^*$  ;  $\vec{b}^* = \frac{2\pi}{a} \vec{b}$  ;  $\vec{c}^* = \frac{2\pi}{c} \vec{c}$

$$3) \|\vec{G}_{hkl}\| = \|h\vec{a}^* + k\vec{b}^* + l\vec{c}^*\| = \frac{2\pi}{a} \sqrt{h^2 + k^2 + l^2 \left(\frac{a}{c}\right)^2}$$



5) Il y a diffraction si  $\vec{k}_s - \vec{k}_i = \vec{G}_{hkl}$  un vecteur quelconque du RR

$$\frac{4\pi}{\lambda} \sin \theta = \|\vec{G}_{hkl}\|$$
$$\rightarrow \sin \theta = \frac{\lambda}{2a} \sqrt{h^2 + k^2 + l^2 \frac{a^2}{c^2}}$$

6)

$$\text{O: } z=8 \rightarrow \sum_{\text{O}^{2-}} \approx 10$$
$$\text{V: } z=23 \rightarrow \sum_{\text{V}^{4+}} \approx 19$$

$$\begin{aligned}
 7) \quad S_{hkl} &= \sum_{i \in \text{mot.}} f_i e^{i \vec{G}_{hkl} \cdot \vec{r}_i} \\
 &= f_v (1 + e^{i\pi(h+k+l)}) + f_o \left( e^{i\pi 0.6(h+k)} + e^{i\pi 1.4(h+k)} \right. \\
 &\quad \left. + e^{i\pi l} e^{i(0.4\pi h + 1.6\pi k)} + e^{i\pi l} e^{i(1.6\pi h + 0.4\pi k)} \right)
 \end{aligned}$$

8)  $f_v$  et  $f_o$  n'étant pas dans un rapport simple pour annuler  $S_{hkl}$ , il faut annuler chacun des termes facteur de  $f_v$  et  $f_o$  séparément  
 En particulier il faut  $1 + e^{i\pi(h+k+l)} = 0 \Rightarrow h+k+l = 2n+1$

$$\begin{aligned}
 9) \quad S_{00l} &= f_v (1 + e^{i\pi l}) + f_o (2 + 2e^{i\pi l}) = 0 \quad \text{si } l = 2n+1 \quad \checkmark \\
 S_{h0l} &= f_v (1 + e^{i\pi(h+l)}) + f_o \left( e^{i\pi 0.6h} + e^{i\pi h} e^{i\pi 0.4h} + e^{i\pi l} e^{i\pi 0.4h} + e^{i\pi(h+l)} e^{i\pi 0.6h} \right) \\
 &= f_v (1 + e^{i\pi(h+l)}) + f_o \left[ e^{i\pi 0.6h} (1 + e^{i\pi(h+l)}) + e^{i\pi 0.4h} (e^{i\pi h} + e^{i\pi l}) \right]
 \end{aligned}$$

sont nuls si  $h+l = 2n+1 \quad \checkmark$

on calcule pour (0kl)  $\checkmark$

10)	h k l	$\frac{2a \sin \theta}{\lambda}$	extinction	ordre d'apparition
	1 0 0	1	oui	—
→	1 1 0	$\sqrt{2}$	non	1
	0 0 1	$\frac{a}{c} \sim 1.5$	oui	—
→	1 0 1	$\sqrt{1 + \frac{a^2}{c^2}} \sim \sqrt{3.25}$	non	2
→	2 0 0	2	non	3
	0 0 2	$2 \frac{a}{c} \sim 3$	non	5
→	1 1 1	$\sqrt{2 + \frac{a^2}{c^2}} \sim \sqrt{6.25}$	non	4

$$\begin{aligned}
 11) \quad S_{200} &= f_v (1+1) + f_o (2e^{i\pi 1.2} + 2e^{i\pi 0.8}) \\
 &\approx 2 \times 19 + 2 \times 10 e^{i\pi} \times 2 \cos(0.2\pi) \\
 &\approx 38 - 40 \cos(0.2\pi) \approx 5.6
 \end{aligned}$$

$$\begin{aligned}
 \text{par comparaison} \quad S_{110} &= 2f_v + f_o (2 + e^{i\pi 1.2} + e^{i\pi 0.8}) \\
 &= 2f_v + 2f_o (1 - \cos 0.2\pi) \approx 41.8
 \end{aligned}$$

$$\rightarrow \underline{I_{110}/I_{200} \approx 55}$$

12) nouveau motif dans la maille mono-clinique  
4 vanadium + 8 oxygènes

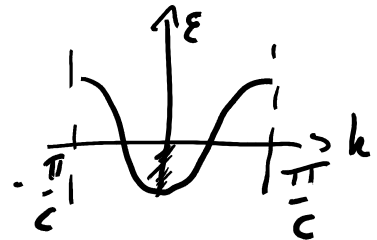
$$V \begin{pmatrix} 0; 0; 0.25 \end{pmatrix} \quad \begin{pmatrix} 0; 0; 0.75 \end{pmatrix} \quad \begin{pmatrix} 0.5; 0.5; 0.25 \end{pmatrix} \quad \begin{pmatrix} 0.5; 0.5; 0.75 \end{pmatrix}$$

## II) Mécanisme de la transition HT

On peut penser à une transition de Peierls comme on en TD

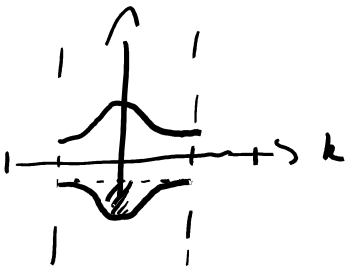
$V^{4+}$  et  $3d^1$ , pour un modèle à 1 bande (1 seule orbitale par V) on est à  $1/2$  remplissage

Pour la phase HT avec les atomes de V équidistants on prévoit un état métallique



Pour la phase BT il y a doublément du paramètre de maille  $c_I = 2c$

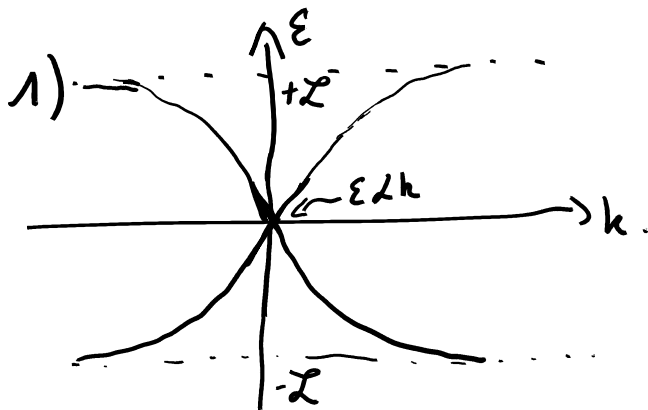
avec ouverture d'un gap à  $\pm \frac{\pi}{c_I} = \pm \frac{\pi}{2c}$



la bande inférieure est totalement remplie et séparée par un gap / bande du haut

La phase BT serait ainsi isolante

### III Propriétés électroniques d'un métal de Dirac



$$2) g^{\text{2D}}(\vec{k}) = \frac{2\pi v}{(2\pi)^2} = \frac{1}{2\pi v}$$

par unité de surface

$$g(\varepsilon) = g(\vec{k}) \left( \frac{d\varepsilon}{dk} \right)^{-1} 2\pi k$$

$$\rightarrow g(\varepsilon) = \frac{1}{2\pi v} \times \frac{1}{\hbar v} 2\pi |\varepsilon|$$

$$| g(\varepsilon) = \frac{|\varepsilon|}{\pi(\hbar v)^2} = A|\varepsilon|$$

(uniquement pour  $|\varepsilon| \ll \varepsilon_F$ )

3) Les bandes étant symétriques,  
à  $1/2$  remplissage  $\varepsilon_F = 0$

$$n(T) = \int_0^{\varepsilon_F} g(\varepsilon) \times \frac{1}{1 + e^{\frac{\varepsilon - \mu}{kT}}} d\varepsilon = A \int_0^{\varepsilon_F} \frac{\varepsilon}{1 + e^{\frac{(\varepsilon - \mu)/kT}} d\varepsilon$$

$$p(T) = \int_{-\varepsilon_F}^0 g(\varepsilon) \times \left( 1 - \frac{1}{1 + e^{\frac{(\varepsilon - \mu)/kT}} \right) d\varepsilon = A \int_{-\varepsilon_F}^0 \frac{-\varepsilon d\varepsilon}{1 + e^{\frac{(\varepsilon - \mu)/kT}}$$

$$= A \int_0^{\varepsilon_F} \frac{\varepsilon' d\varepsilon'}{1 + e^{\frac{\varepsilon' + \mu}{kT}}}$$

or  $p = n \quad \forall T \Rightarrow \underline{\mu(T) = \varepsilon_F = 0 \quad \forall T}$

4)  $E(0) = \int_{-\varepsilon_F}^0 \varepsilon g(\varepsilon) d\varepsilon$

$$E(T) = \int_{-\varepsilon_F}^{+\varepsilon_F} \varepsilon g(\varepsilon) f(\varepsilon) d\varepsilon$$

$$\begin{aligned}
 5) \Delta E(T) &= \int_0^{\infty} \epsilon g(\epsilon) f(\epsilon) d\epsilon - \int_{-\infty}^0 \epsilon g(\epsilon) (1-f(\epsilon)) d\epsilon \\
 &= \int_0^{\infty} \epsilon g(\epsilon) f(\epsilon) d\epsilon + \int_{-\infty}^0 (-\epsilon) g(-\epsilon) f(-\epsilon) d\epsilon \\
 &= 2 \int_0^{\infty} \epsilon g(\epsilon) f(\epsilon) d\epsilon
 \end{aligned}$$

$$6) \Delta E(T) = 2A (k_B T)^3 \int_0^{\infty} \frac{u^2}{1+e^u} du \quad (\text{pour } k_B T \ll \infty \quad g(\epsilon) \propto |\epsilon|)$$

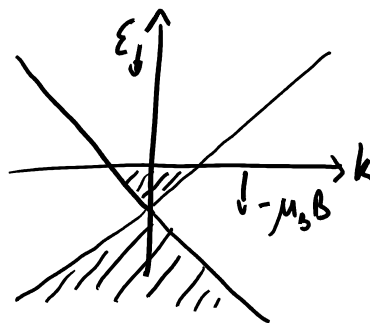
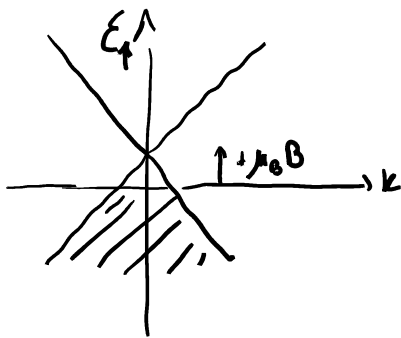
$$\text{si } k_B T \ll \infty \quad \Delta E(T) \approx 2A (k_B T)^3 \frac{3}{2} \zeta(3)$$

$$\rightarrow \Delta E(T) \approx \frac{3}{\pi (\hbar v)^2} \zeta(3) (k_B T)^3$$

$$\rightarrow \underline{C(T)} \approx \frac{9}{\pi (\hbar v)^2} \zeta(3) k_B^3 T^2$$

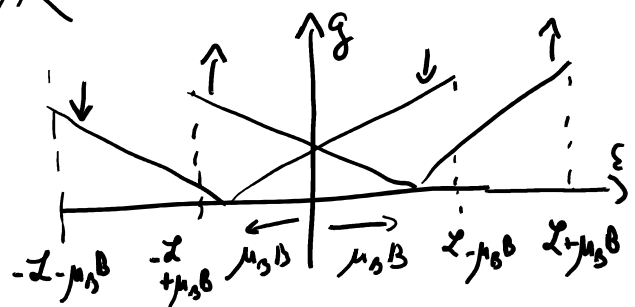
7) On ajoute l'énergie Zeeman pour chaque configuration électronique  $-\vec{m} \cdot \vec{B} = -(-g\mu_B S^z) B$

$$\text{avec } g=2 \Rightarrow \begin{cases} +\mu_B B & \text{si } S^z = \uparrow \\ -\mu_B B & \text{si } S^z = \downarrow \end{cases}$$



$$g_{\uparrow}(\epsilon) = \frac{1}{2} g(\epsilon - \mu_B B)$$

$$g_{\downarrow}(\epsilon) = \frac{1}{2} g(\epsilon + \mu_B B)$$



# IV Chaleur spécifique d'un composé AF

$$1) g^{3D}(k) = \frac{1}{(2\pi)^3} ; g(\epsilon) = \left(\frac{1}{2\pi}\right)^3 \left(\frac{d\epsilon}{dk}\right)^{-1} 4\pi k^2 dk$$

$$g(\epsilon) = \frac{1}{(2\pi)^3} \times \frac{1}{A} 4\pi \frac{\epsilon^2}{A^2} = \frac{\epsilon^2}{2\pi^2 A^3}$$

$$2) E(T) = \int_0^\infty \epsilon g(\epsilon) \frac{1}{e^{\epsilon/kT} - 1} d\epsilon$$

$$3) E(T) \propto \int_0^\infty \frac{\epsilon^3}{e^{\epsilon/kT} - 1} d\epsilon \propto (k_B T)^4 \int_0^\infty \frac{u^3 du}{e^u - 1}$$

$$\rightarrow C \propto T^3$$

4) • Dans le cas ferromagnétique  $g(\epsilon) \propto \sqrt{\epsilon}$   
 $\rightarrow E \propto T^{5/2}$  et  $C \propto T^{3/2}$

• AF 2D  $g^{2D}(\epsilon) \propto \epsilon \Rightarrow E \propto T^3 \Rightarrow C \propto T^2$

5)  $A \propto z J S$  ← énergie d'échange  
(+coordination et taille des spins)

6) La dépendance en  $T$  nous renseigne sur la nature (F ou AF) et la dimensionnalité et le préfacteur donne  $A$  donc l'énergie d'échange du matériau (si elle est unique).